

国土防災技術株名古屋支店 ○伊藤 英男
御子柴三男

はじめに

斜面の安定性は、斜面を形成している物質すなわち、土の強度、種類、密度、構造およびその中に含まれる水、水圧等が複雑に作用して発生する現象と考えられる。

自然斜面の崩壊に対する安定性についての土質工学的な検討事例は、極めて少ない。

その一因は、上記にのべた斜面の安定性に大きく影響を与える因子の調査の困難性にある。

特に砂防等でとりあつかう斜面の土は、粒径が極めて大きく、その分布は、粘土から数mにも及ぶ土礫から成っており、不擗乱資料の採取が極めて困難、あるいは不可能と考えられているからである。

斜面の安定性は、土のもつせん断強度により評価する必要があり、京都大学で開発された、サンプルの大きさ $20 \times 20 \times 10$ (cm) の一面せん断試験機を用いて一面せん断試験を実施した。

この報告は、砂防計画対象地内におけるセン断試験の可能性および、その結果にもとづき、斜面状況等のちがいによる斜面の安定性を検討したものである。

尚、この報文をとりまとめるにあたり、調査資料の貸与を快諾いただいた建設省北陸地方建設局立山砂防工事事務所の担当諸官に、また、一面セン断試験実施について、京都大学の佐々先生、丸井研空昌に多大な御指導、御助言をいただき、謝意を表します。

1 調查方法

1 - 1 調査位置

調査対象区域は、常願寺川水系上流の水谷・多枝原付近の浸食崖である。（図-1参照）

1 - 2 現地調查方法

現地調査として、浸食崖の概略的な規模・地形、地質、湧水、土質状況（湿潤・中湿潤・乾燥斜面）を調査し、地形図（1:1000～1:2500）を用いてガリー発達状況・尾根残留状況を調査して、斜面区分毎に、面積、勾配、方位、標高等を計測した。

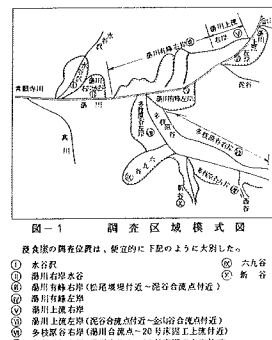
1 - 2 土質定數

一面セン断試験は不攪乱試料・攪乱試料で行い、また、含水比を変化させるため、水中にて試料を飽和状態に近づけても試験を行った。土質資料の作成方法は図-2に示す。

また、垂直荷重(σ)は、土かぶり圧として、試料採取深度と同程度に与える事が一般的で、今回の試料採取深度が0.5~1.0 m付近であるため、 σ は次のように決定した。

$$\sigma_1 = 2.62 \text{ (g/cm}^2\text{)} \quad \text{深度 } 0.15m \text{ 相当} \quad \sigma_2 = 9.49 \text{ 深度 } 0.50m \text{ 相当}$$

$\sigma_z = 1495$ 深度 $0.75m$ 相当 (注) 土の湿潤密度 $2.0 g/cm^3$



役食振の調査位置は、便宜的に下記のように大別した。

① 水谷沢	⑧ 六九三
② 芦川右岸水谷	⑨ 新井
③ 葛谷川左岸水谷 (松尾坂堤付近 - 谷合灘点付近)	
④ 芦川左岸林	
⑤ 芦川右岸右岸	
⑥ 谷合灘左岸左端 (谷合灘点付近 - 1号台合瀬付附近)	
⑦ 多枝谷右岸 (新川用灘点 - 20号工区段上流付近)	

2 調査結果

2-1 地形条件

崩壊斜面勾配は $35^{\circ}\sim60^{\circ}$ で、斜面の乾湿状況により、斜面勾配は概ね次のようになった。

- ・現況斜面が湿潤で湧水等が多い斜面：（湧水があり十分に湿った斜面）
（湿潤斜面）……斜面勾配 $35\sim45^{\circ}$
- ・現況斜面が普通程度に湿っている斜面：（湧水があり適度に湿っているか、湧水はなくても中湿潤斜面）……斜面勾配 $50\sim60^{\circ}$
（湿った斜面）
- ・現況斜面が乾燥している斜面：（湧水はなく乾燥している）
（乾燥斜面）……斜面勾配 $55\sim60^{\circ}$

崩壊堆砂面勾配は $30\sim40^{\circ}$ ……安息角
未崩壊斜面は $35\sim45^{\circ}$

各斜面の崩壊・未崩壊斜面の斜面勾配(α)と斜面高(H)を対比したものが図-3であり、斜面状況別に崩壊危険度境界としての斜面高と斜面勾配を対比させたものが表-1の対比表である。

これによると各斜面高における境界勾配は、乾燥斜面は、中湿潤、湿潤斜面に対し、境界勾配は $4\sim7^{\circ}$ 程度高くなった。また、湿潤斜面と中湿潤斜面では、中湿潤斜面がやや高くなかった。

2-2 土質定数条件

(1) 一面セン断試験結果

自然状態の一面セン断試験結果を図-4 一面セン断試験による○-○図に示し、斜面状況毎の自然状態と含水比変化状態でのセン断抵抗角(ϕ)と粘着力(C)を表-2 斜面状況・含水状況別一面セン断試験結果表にまとめた。土質試験結果は表-3に示す。

(2) セン断強度と飽和度

土の飽和度とセン断強度を図-5 セン断強度と飽和度対比図に示す。セン断強度は飽和度 $60\sim75\%$ で最も高く、飽和度がより高くなれば再び低下する。

3 考察

(1) 現況斜面特性

斜面状況別に斜面現況を整理すると表-4 現況斜面区分のようになる。

この表によると、斜面の乾湿状況により斜面勾配、セン断抵抗角(ϕ)に明瞭な差がみられる。

このように斜面の安定性を支配する重要な要因は、現況斜面の乾湿状況により大きな差を有する。

(2) 土質定数と地形条件

セン断抵抗角(ϕ)と斜面勾配(α)とを図-6 セン断抵抗角と斜面勾配対比図に示した。

中湿潤斜面ではセン断抵抗角と斜面勾配はほぼ対応するが、湿潤斜面の場合は水の影響のため、セン断抵抗角に比べて斜面勾配は低くなっている。

(3) 湧水状況と斜面勾配

単位面積(ha)当りの湧水数を湧水密度とし、崩壊斜面勾配を図-7 湧水密度と斜面勾配対比図に示した。湧水密度が高くなれば、斜面状況は湿潤になり、崩壊斜面勾配も低くなる。

(4) 含水状況と斜面安定

斜面の安定性は、土の乾湿状況により変化している。そこで、現況の崩壊斜面、未崩壊斜面の斜面高、斜面勾配の相関図を用い、間隙水圧の変化および間隙水圧、土質常数(C, ϕ)の変化と斜面安定状況を検討する。

検討方法は、申らの“基岩面条件と斜面の安定”(新砂防第124号 Vol.35 No.1 P19~30)の考え方を用いおこなう。基岩面条件としては、対象土砂が安政5年の崩積土であることから、均質斜面としてとりあつかい、安全率は $F = 1.00$ とし、各斜面勾配における臨界高さを求めた。

C, ϕ については、一面セン断試験による自然状態と飽和状態による ϕ, C の結果を用いた。この検討結果を、図-8 斜面高・斜面勾配相関と臨界高曲線対比図に示した。

これによると、自然状態の C, ϕ を用いた結果では、間隙水圧比(崩壊深さに対する間げき水圧高の比) $u/h = 0.75$ で表わされる臨界高曲線より右側(不安定側)に位置する斜面では、ほぼ全ての斜面で崩壊している。 $u/h = 0.75 \sim 1.00$ の間では、崩壊、未崩壊斜面が混在し、 $u/h = 1.00$ の曲線より左側では、特殊条件による崩壊(土石流流下による攻撃斜面や温泉による影響を受けた斜面)を除いて、ほぼ全ての斜面で未崩壊となった。

また、飽和状態での C, ϕ を用いた場合は $u/h = 0.25$ の曲線より右側は、崩壊斜面、 $u/h = 0.25 \sim 0.5$ では、崩壊、未崩壊斜面の混入、 $u/h = 0.5$ の曲線より左側では、ほぼ未崩壊斜面となった。

5 まとめ

斜面の崩壊は、土の種類、密度、構造、強度および、その中に含まれる水、水圧等が複雑に作用して発生する現象と考えられる。

この報告では、京都大学で開発された、サンプルの大きさ $20 \times 20 \times 10$ (cm)の一面セン断試験機を用いて、土の強度を求め、現地の崩壊状況とを対比した。この結果は概ね現況と合致したものとなつたことから、巨礫を含む地区でも、試験地を選定すれば、試験は可能で、その結果も概ね適応できるものと判断された。

試験結果では、土のセン断抵抗角(ϕ)が 45° 以上と大きくなつたものが相当数みられたが、土の密度が高く、間隙比が小さく、礫径も大きく、インナーロッキング効果や表面エネルギー効果の土の構造効果が働いたためと考えられる。

斜面の安定性は ϕ, C 、土の飽和度、間隙水圧に強く影響を受ける。自然状態と飽和状態での C, ϕ を用い現地の適合する間隙水圧比(u/h)を求めてみると、飽和状態では自然状態の間隙比の $1/2$ 程度で適応し、飽和状態の ϕ はかなり低下していた。

今後は、間隙水圧の上昇と土の含水量の変化等の検討が問題点となる。

表-1 崩壊危険度境界と1/2の斜面高と斜面勾配対比表

斜面状況	斜面高			
	5.0m	4.0m	3.0m	2.0m
混潤斜面	3.8°	4.0°	4.1°	4.4°
	3.8~4.5°	4.0~4.5°	4.1~4.6°	4.4~4.9°
	4.0°	4.0°	4.2°	4.5°
	4.0~4.8°	4.0~5.0°	4.2~5.1°	4.5~5.4°
中混潤斜面	4.4°	4.6°	4.8°	5.1°
	4.4~4.9°	4.6~5.0°	4.8~5.2°	5.1~5.5°

(注) °混潤斜面の特殊条件斜面は除く

°上段：崩壊、未崩壊斜面の境界

°下段：崩壊、未崩壊斜面の混入範囲

表-2 斜面状況・含水状況別一面セン断試験結果表

斜面状況	含水状況	ϕ°	差	
			$C_t(t/m)$	差
混潤	自然	51.0~51.2°	0.2°	0.48~0.62
	変化	38.6~40.9°	2.3°	0.20~0.67
中混潤	自然	52.8~59.0°	6.2°	0.57~0.63
	変化	43.4~47.3°	3.9°	0.46~0.65
乾燥	自然	63.5	—	0.43
	変化	64.0	—	0.34

表-3 土の相構成

○比重(γ_s)	2.58~2.67	±0.01
○含水比(w)	自然状態	7~20%
	含水変化状態	9~18%
○間隙比(e)	0.3~0.6	
○飽和度(S_r)	自然状態	40~90%
	含水変化状態	60~95%
○湿潤密度(γ_f)	自然状態	1.85~2.21 g/cm ³
	含水変化状態	2.04~2.20 g/cm ³
○深さ	最大深度	9.5~50.8 m
	D ₆₀	0.5~0.5 mm
	D ₁₀	0.0025~0.14 mm

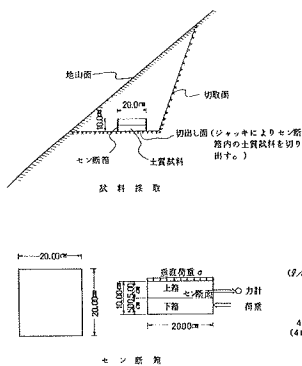


図-2 現場一面セン断試験試作成模式図

表-4 現況斜面区分

地 形 形 状	混潤斜面		中湿潤斜面	乾燥斜面
	斜面勾配	ガリ-密度		
自然	3.5~4.5°	小	5.0~6.0°	5.5~6.0°
含水比変化		大		大
自然	5.0~5.12°		5.2~5.9°	6.3~6.5°
含水比変化	3.8~4.0°		4.3~4.7°	6.4~6.6°
自然	0.48~0.62		0.57~0.63	0.43
含水比変化	0.29~0.67		0.46~0.65	0.34
崩壊危険度の境界角 斜面高さ50m	38°		40°	44°

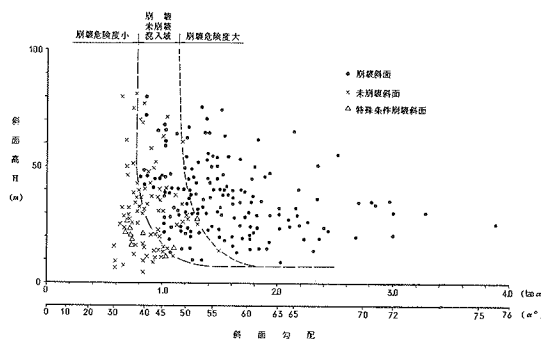


図-3 斜面高・斜面勾配相関図

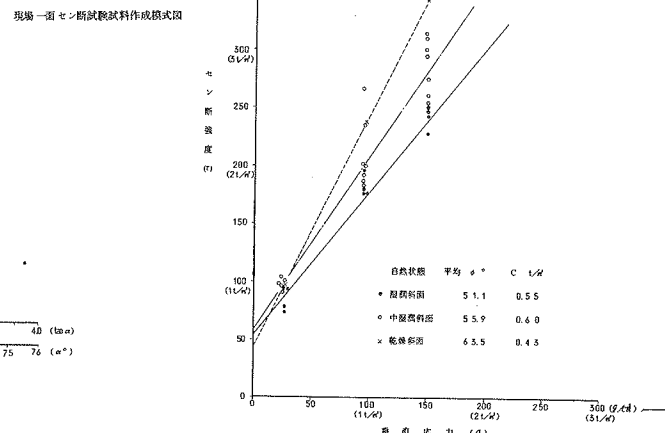
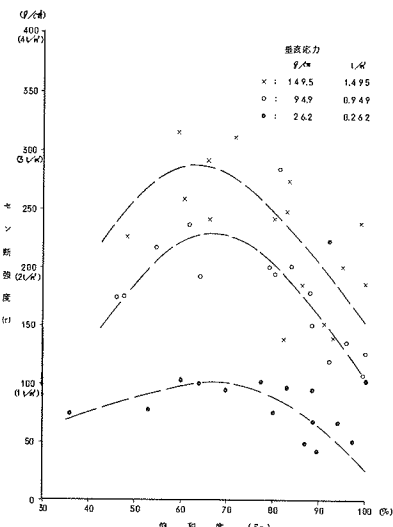
図-4 一箇セン断試験による τ - σ 図

図-5 セン断強度と飽和度対比図

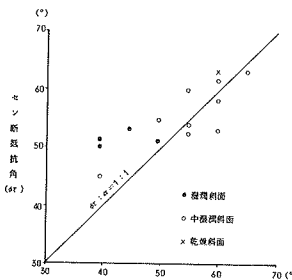


図-6 セン断抵抗角と斜面勾配対比図

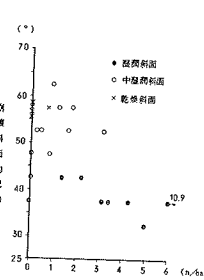


図-7 湿潤密度と斜面勾配対比図

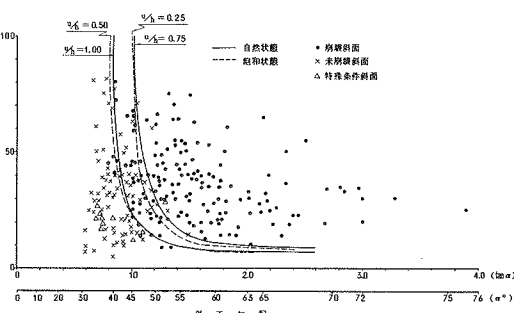


図-8 斜面高・斜面勾配相関図と縦界高さ級対比図